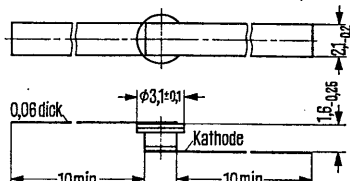


# BBY 24, BBY 25, BBY 26, BBY 27

## Sperrschiichtvaraktoren

BBY 24 bis BBY 27 sind epitaktische Silizium-Sperrschiichtvaraktoren in Mesatechnik und eignen sich besonders für Modulations- und Abstimmanwendungen im GHz-Bereich. Die Varaktoren haben ein Mikrowellengehäuse mit einem vergoldeten Ni-Anschlußband auf beiden Seiten.

Typ	Bestellnummer
BBY 24	Q62702-B20
BBY 25	Q62702-B21
BBY 26	Q62702-B22
BBY 27	Q62702-B23



Gewicht etwa 1 g

### Grenzdaten ( $T_U = 25^\circ\text{C}$ )

Sperrspannung	$U_R$	120	V
Durchlaßstrom	$I_F$	200	mA
Sperrschiichttemperatur	$T_J$	150	$^\circ\text{C}$
Lagertemperatur	$T_S$	-55 bis +150	$^\circ\text{C}$
Wärmewiderstand zwischen Sperrschiicht – Gehäuse	$R_{thJG}$	$\leq 70$	K/W

### BBY 24, BBY 25 BBY 26, BBY 27

### Statische Kenndaten

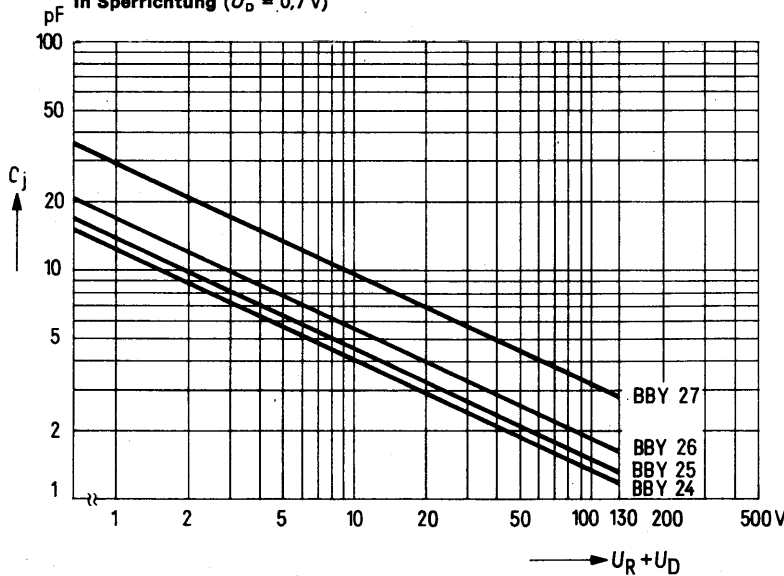
Sperrstrom ( $U_R = 100 \text{ V}; T_U = 25^\circ\text{C}$ )	$I_R$	< 10	nA
Sperrstrom ( $U_R = 100 \text{ V}; T_U = 60^\circ\text{C}$ )	$I_R$	< 100	nA
Durchlaßspannung ( $I_F = 200 \text{ mA}; T_U = 25^\circ\text{C}$ )	$U_F$	< 1	V

## Dynamische Kenndaten ( $T_U = 25^\circ\text{C}$ )

		<b>BBY 24</b>	<b>BBY 25</b>	<b>BBY 26</b>	<b>BBY 27</b>	
Diodenkapazität ( $U_R = 0 \text{ V}; f = 1 \text{ MHz}$ )	$C_D$	14 (12 bis 16)	18 (16 bis 20)	22 (20 bis 24)	38 (36 bis 40)	pF pF
Kapazitätsverhältnis ( $U_R = 0 \text{ bis } 120 \text{ V}; f = 1 \text{ MHz}$ )	$\frac{C_{D0V}}{C_{D120V}}$	> 8,5	> 9,0	> 9,5	> 10,0	—
Gehäusekapazität			$C_G$	0,35		pF
Gehäuseserieninduktivität			$L_S$	0,4		nH
Spannungsabhängigkeit der Sperrsichtkapazität ( $U_R = 0 \text{ V bis } 120 \text{ V}$ )			$n^1)$	2 bis 2,15		—
Güte ( $U_R = 4 \text{ V}; f = 50 \text{ MHz}$ )			$Q$	> 200		—
Serienwiderstand ( $U_R = 100 \text{ V}; f = 2,4 \text{ GHz}$ )			$R_S$	< 0,9		$\Omega$

$$^1) \quad \frac{C_j(U_{R1})}{C_j(U_{R2})} = \left( \frac{U_{R2} + U_D}{U_{R1} + U_D} \right)^{\frac{1}{n}}; \quad U_D \approx 0,7 \text{ V}$$

Typischer Kapazitätsverlauf in Abhängigkeit von der Vorspannung  $U_R + U_D$  in Sperrrichtung ( $U_D = 0,7 \text{ V}$ )



**Mikrowellen-Abstimmvaraktoren:**

Abstimmvaraktoren mit abruptem Dotierungsverlauf besitzen eine quadratische Kapazitätsspannungslinie  $C^2 \sim U$ . Gegenüber hyperabrupten Kapazitätsdioden sind wesentlich höhere Güten realisierbar, welche speziell für die Anwendung dieser Bauelemente im GHz-Bereich von Vorteil sind. Siemens Abstimmvaraktoren sind in drei Durchbruchspannungsserien lieferbar. Alle Abstimmvaraktoren sind in Silizium-Mesatechnologie mit Mehrschichtpassivierung und Edelmetallkontakte aufgebaut. Voralterungen, Schocktests und Lecktests dienen zur Absicherung der hohen Zuverlässigkeit, welche den Einsatz auch in MIL-Anwendungen zuläßt. Der großen Kapazitätswerte wegen, werden die Grundtypen bevorzugt im Frequenzbereich bis 1 GHz eingesetzt.

**Mikrowellen-Abstimmvaraktoren abrupt**

<b>Typ</b>	<b>Bestellnummer</b>
<b>BBY 24-S1</b>	Q62702-B20-S1
<b>BBY 25-S1</b>	Q62702-B21-S1
<b>BBY 26-S1</b>	Q62702-B22-S1
<b>BBY 27-S1</b>	Q62702-B23-S1
<b>BBY 32CB</b>	Q62702-B51
<b>BBY 32DA</b>	Q62702-B52
<b>BBY 32DB</b>	Q62702-B53
<b>BBY 32EA</b>	Q62702-B54
<b>BBY 32FA</b>	Q62702-B55
<b>BBY 33BB1</b>	Q62702-B65
<b>BBY 33DA2</b>	Q62702-B127
<b>BXY 22G</b>	Q60223-Y22-G
<b>BXY 22H</b>	Q60223-Y22-H
<b>BXY 22J</b>	Q60223-Y22-J
<b>BXY 23</b>	Q60223-Y23

Abweichende Gehäusebauformen und Kapazitätswerte auf Anfrage.

**Mikrowellen Abstimmvaraktoren abrupt**

Typ	Sper- spannung $U_R$ (V)	Kapazität $U_R = 0$ ; $f = 1 \text{ MHz}$ $C_D$ (pF)	Kapazitäts- verhältnis $\frac{C_{D(U_{R1})}}{C_{D(U_{R2})}}$	Güte $Q^3) ^4)$	Serien- wider- stand $R_S$ ( $\Omega$ )	Bild
<b>BBY 24-S1</b>	120	12–16	> 8.5 <sup>1)</sup>	> 300		<b>42</b>
<b>BBY 25-S1</b>	120	16–20	> 9.0 <sup>1)</sup>	> 300		<b>42</b>
<b>BBY 26-S1</b>	120	20–24	> 9.5 <sup>1)</sup>	> 300		<b>42</b>
<b>BBY 27-S1</b>	120	36–40	> 10.0 <sup>1)</sup>	> 300		<b>42</b>
<b>BBY 32CB</b>	60	2– 3	> 4.25 <sup>2)</sup>	> 1400		<b>50</b>
<b>BBY 32DA</b>	60	3– 4	> 5 <sup>2)</sup>	> 1300		<b>50</b>
<b>BBY 32DB</b>	60	4– 5	> 5.5 <sup>2)</sup>	> 1200		<b>50</b>
<b>BBY 32EA</b>	60	5– 8	> 5.5 <sup>2)</sup>	> 1100		<b>50</b>
<b>BBY 32FA</b>	60	8–12	> 6 <sup>2)</sup>	> 1000		<b>50</b>
<b>BBY 33BB1</b>	30	1 – 1,5	> 3 <sup>9)</sup>	> 4000		<b>48</b>
<b>BBY 33DA2</b>	30	1.7– 2.1 <sup>10)</sup>	> 3 <sup>9)</sup>	> 2500		<b>58</b>
<b>BXY 22G</b>	30	8.8–11.2 <sup>5)</sup>	2 – 2.5 <sup>7)</sup>	–	> 1.5 <sup>8)</sup>	<b>46</b>
<b>BXY 22H</b>	30	10.8–13.2 <sup>5)</sup>	2 – 2.5 <sup>7)</sup>	–	> 1.5 <sup>8)</sup>	<b>46</b>
<b>BXY 22J</b>	30	13 –16 <sup>3)</sup>	2 – 2.5 <sup>7)</sup>	–	> 1.5 <sup>8)</sup>	<b>46</b>
<b>BXY 23</b>	30	10.7–13.3 <sup>6)</sup>	2 – 2.5 <sup>7)</sup>	–	> 0.9 <sup>8)</sup>	<b>47</b>

<sup>1)</sup> ( $U_{R1} = 0$ ;  $U_{R2} = 120 \text{ V}$ ;  $f = 1 \text{ MHz}$ )

<sup>2)</sup> ( $U_{R1} = 0$ ;  $U_{R2} = 60 \text{ V}$ ,  $f = 1 \text{ MHz}$ )

<sup>3)</sup> ( $U_R = 4 \text{ V}$ ;  $f = 50 \text{ MHz}$ )

$$^4) Q = \frac{1}{2\pi f r_s C_j}$$

<sup>5)</sup>  $U_R = 15 \text{ V}$ ;  $f = 1 \text{ MHz}$

<sup>6)</sup>  $U_R = 3 \text{ V}$ ;  $f = 1 \text{ MHz}$

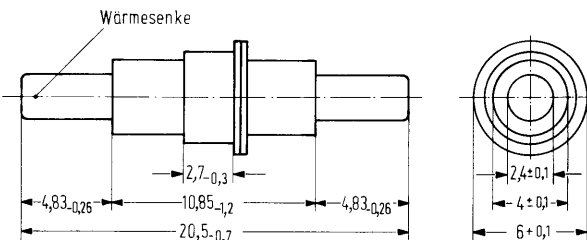
<sup>7)</sup>  $U_{R1} = 3 \text{ V}$ ;  $U_{R2} = 25 \text{ V}$ ;  $f = 1 \text{ MHz}$

<sup>8)</sup>  $U_R = 3 \text{ V}$ ;  $f = 2.4 \text{ GHz}$

<sup>9)</sup>  $U_{R1} = 0 \text{ V}$ ;  $U_{R2} = 30 \text{ V}$

<sup>10)</sup>  $U_R = 4 \text{ V}$

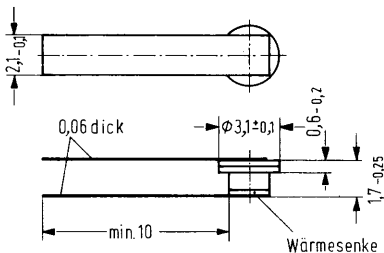
**Maßbilder:**



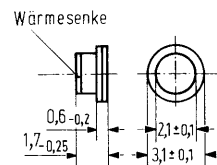
**Bild 46** Gewicht etwa 1,4 g

Fortsetzung nächste Seite

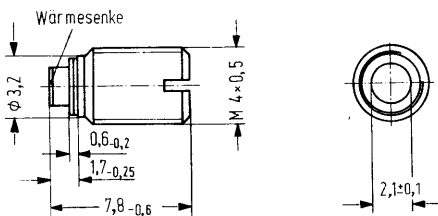
**Maßbilder:**



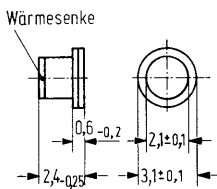
**Bild 42** Gewicht etwa 0,07 g Maße in mm



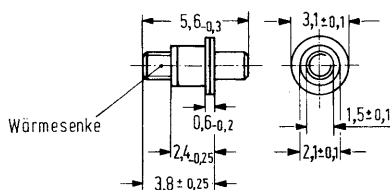
**Bild 47** Gewicht etwa 0,03 g Maße in mm



**Bild 48** Gewicht etwa 0,5 g Maße in mm



**Bild 50** Gewicht etwa 0,05 g Maße in mm

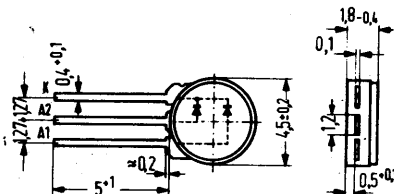


**Bild 58** Gewicht etwa 0,12 g Maße in mm

## Zweifach-Kapazitätsdiode

Die planare Silizium-Zweifach-Kapazitätsdiode BBY 29 mit gemeinsamer Kathode im hermetisch dichten Glas/Keramik-Flachgehäuse ist besonders für MIL- und Raumfahrtanwendungen geeignet. Der Vorteil dieses Gehäuses besteht in der hohen Packungsdichte.

Typ	Bestellnummer
BBY 29	Q62702-B42



Gewicht etwa 0,3 g

Maße in mm

**Grenzdaten**

Sperrspannung

BBY 29

V

Durchlaßstrom ( $T_U \leq 60^\circ\text{C}$ ) $U_R$ 

mA

 $I_F$ 

°C

Lagertemperatur

 $T_a$ 

°C

Betriebstemperatur

 $T_U$ 

°C

Löttemperatur

 $T_L$ 

°C

(für  $t \leq 3$  sec, Abstand vom Gehäuse > 0,8 mm)

240

**Kenndaten ( $T_U = 25^\circ\text{C}$ )**Durchbruchspannung ( $I_R = 10 \mu\text{A}$ ) $U_{(BR)}$ 

V

Sperrstrom ( $U_R = 30 \text{ V}$ ) $I_R$ 

nA

Diodenkapazität

 $C_D$ 

pF

( $U_R = 3 \text{ V}; f = 1 \text{ MHz}$ ) $C_{D \ 3 \text{ V}} / C_{D \ 30 \text{ V}}$ 

pF

Kapazitätsverhältnis

 $Q$ 

—

Gütefaktor ( $C_D = 38 \text{ pF}; f = 50 \text{ MHz}$ )

&gt; 120

Temperaturkoeffizient

0,03

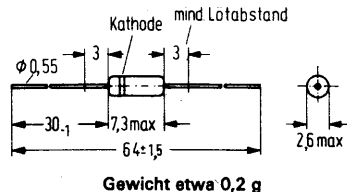
%/K

der Diodenkapazität ( $U_R = 3 \text{ V}$ )

## Silizium-Planar-Kapazitätsdiode

BBY 30 ist eine planare Silizium-Kapazitätsdiode im Gehäuse 51 A2 DIN 41880 (DO-7), welche besonders für Anwendungen im unteren VHF-Bereich geeignet ist.

Typ	Bestellnummer
BBY 30	Q62702-B44



### Grenzdaten

Sperrspannung  
Durchlaßstrom ( $T_U \leq 60^\circ\text{C}$ )  
Betriebstemperatur  
Lagertemperatur  
Löttemperatur  
(für  $t \leq 5$  sec; Abstand vom Gehäuse > 3 mm)

	BBY 30	
$U_R$	30	V
$I_F$	100	mA
$T_U$	-55 bis +125	°C
$T_s$	-55 bis +125	°C
$T_L$	240	°C

### Kenndaten ( $T_U = 25^\circ\text{C}$ )

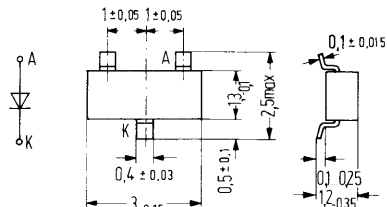
Durchbruchspannung ( $I_R = 10 \mu\text{A}$ )  
Sperrstrom ( $U_R = 30 \text{ V}$ )  
Diodenkapazität  
( $U_R = 3 \text{ V}; f = 1 \text{ MHz}$ )  
( $U_R = 30 \text{ V}; f = 1 \text{ MHz}$ )  
Kapazitätsverhältnis  
Gütefaktor ( $C_D = 30 \text{ pF}; f = 50 \text{ MHz}$ )  
Serienwiderstand ( $C_D = 30 \text{ pF}; f = 100 \text{ MHz}$ )  
Temperaturkoeffizient der Diodenkapazität

$U_{(\text{BR})}$	> 32	V
$I_R$	< 50	nA
$C_D$	29 bis 31	pF
$C_D$	11	pF
$C_{D3V}/C_{D30V}$	2,5 bis 2,8	—
$Q$	> 200	—
$r_s$	< 0,5	Ω
$TK_c$	0,03	%/K

## für Schichtschaltungen

**BBY31** ist eine doppeldiffundierte epitaktische Silizium-Kapazitätsdiode in Planartechnik im Kunststoffgehäuse 23A3 DIN 41869 (TO-236). Sie eignet sich besonders in Schichtschaltungen als Abstimmdiode für den UHF- und VHF-Bereich.

Typ	Stempel	Bestellnummer
<b>BBY31</b>	UG	Q62702-B91



Gewicht etwa 0,02 g

## Grenzdaten

Sperrspannung	$U_R$	28	V
Sperrspannung Scheitelwert	$U_{RM}$	30	V
Durchlaßstrom	$I_F$	20	mA
Umgebungstemperatur	$T_U$	-65 bis +100	°C

Kenndaten ( $T_U = 25^\circ\text{C}$ )

Sperrstrom ( $U_R = 28 \text{ V}$ )	$I_R$	<100	nA
Sperrstrom ( $U_R = 28 \text{ V}; T_U = 60^\circ\text{C}$ )	$I_R$	$\leq 0,5$	$\mu\text{A}$
Kapazität ( $U_R = 1 \text{ V}; f = 1 \text{ MHz}$ )	$C_D$	17,5	pF
Kapazität ( $U_R = 3 \text{ V}; f = 1 \text{ MHz}$ )	$C_D$	11,5	pF
Kapazität ( $U_R = 25 \text{ V}; f = 1 \text{ MHz}$ )	$C_D$	1,8 bis 2,8	pF
Kapazitätsverhältnis ( $f = 1 \text{ MHz}$ )	$\frac{C_{D3V}}{C_{D25V}}$	5	-
Serienwiderstand ( $f = 330 \text{ MHz}; C_D = 12 \text{ pF}$ )	$r_s$	$\leq 1,2$	$\Omega$

# Mikrowellendioden

---

## 3.4. Speichervaraktoren

zur Verwendung in Aufwärtsumsetzern

Typ	Bestellnummer	Durchbruch-Spannung $U_R$ (V)	Dioden-Kapazität ( $U_R = 0$ V; $f = 1$ MHz) $C_D$ (pF)	Empfohlener Frequenzbereich (GHz)	Eingangsleistung $P_E$ (W)	Gehäuse
<b>BXY 21 B</b>	Q62702-X110	25–35	0,9–1,8	1–12	bis 0,25	Q
<b>BXY 21 CA</b>	Q62702-X54	25–35	1,5–2,5	1–8	bis 1,5	F
<b>BXY 21 CB</b>	Q62702-X111	15–25	1,7–3,5	1–6	bis 0,25	Q
<b>BXY 24 EA</b>	Q62702-X78	65–80	5–8	1–6	bis 2,5	A

## 3.5. Sperrsichtvaraktoren

zur Verwendung bis in den GHz-Bereich (z.B. Modulation und Abstimmung)

Typ	Bestellnummer	Sperrspannung $U_R$ (V)	Dioden-Kapazität ( $U_R = 0$ V; $f = 1$ MHz) $C_D$ (pF)	Kapazitätsverhältnis	Gehäuse
<b>BBY 24</b>	Q62702-B20	120	(12–16)	> 8,5	P
<b>BBY 25</b>	Q62702-B21	120	(16–20)	> 9,0	P
<b>BBY 26</b>	Q62702-B22	120	(20–24)	> 9,5	P
<b>BBY 27</b>	Q62702-B23	120	(36–40)	> 10,0	P
<b>BBY 32 CB</b>	Q62702-B51	60	2–3	> 4,25	L
<b>BBY 32 DA</b>	Q62702-B52	60	3–4	> 5	L
<b>BBY 32 DB</b>	Q62702-B53	60	4–5	> 5,5	L
<b>BBY 32 EA</b>	Q62702-B54	60	5–8	> 5,5	L
<b>BBY 32 FA</b>	Q62702-B55	60	8–12	> 6	L
<b>BXY 22 G</b>	Q60223-Y22-G	30	(8,8–11,2)	2–2,5	F
<b>BXY 22 H</b>	Q60223-Y22-H	30	(10,8–13,2)	2–2,5	F
<b>BXY 22 J</b>	Q60223-Y22-J	30	(13–16)	2–2,5	F
<b>BXY 23</b>	Q60223-Y23	30	(10,7–13,3)	2–2,5	A

$$^1) \frac{C_D(0\text{ V})}{C_D(120\text{ V})}$$

$$^2) \frac{C_D(0\text{ V})}{C_D(60\text{ V})}$$

$$^3) \frac{C_D(3\text{ V})}{C_D(25\text{ V})}$$

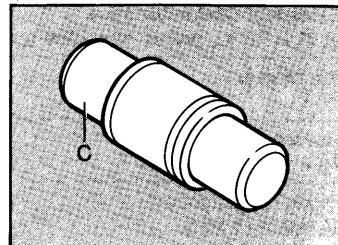
$$^4) U_R = 15\text{ V}$$

$$^5) U_R = 3\text{ V}$$

**Electrical Characteristics**at  $T_A = 25^\circ\text{C}$ , unless otherwise specified.

Parameter	Symbol	min	Values typ	max	Unit
Reverse current $V_R = 100\text{ V}$	$I_R$	—	—	10	nA
Diode capacitance $V_R = 0, f = 1\text{ MHz}$	$C_T$	12	—	16	pF
		16	—	20	
		20	—	24	
		36	—	40	
Capacitance ratio $V_{R1} = 0, V_{R2} = 120\text{ V}$	$\frac{C_{T0}}{C_{T120}}$	8.5	—	—	—
		9.0	—	—	
		9.5	—	—	
		9.5	—	—	
		—	—	—	
Figure of merit $V_R = 4\text{ V}, f = 50\text{ MHz}$	$Q$	200	—	—	—

- Tuning varactor in passivated Mesa technology  
(epitaxial design)



Type	Marking	Ordering code	Package
BBY 33 BB-2	-	Q 62702 – B70	D

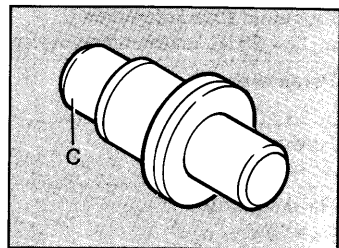
**Maximum Ratings**

Parameter	Symbol	Value	Unit
Reverse voltage	$V_R$	27	V
Forward current	$I_F$	200	mA
Junction temperature	$T_j$	150	°C
Storage temperature range	$T_{stg}$	-55 ... +175	°C

**Electrical Characteristics**at  $T_A = 25^\circ\text{C}$ , unless otherwise specified.

Parameter	Symbol	min	Values		Unit
			typ	max	
Forward voltage $I_F = 200 \text{ mA}$	$V_F$	—	—	1.1	V
Reverse current $V_R = 15 \text{ V}$	$I_R$	—	—	5	nA
Diode capacitance $V_R = 0$	$C_T$	0.9	—	1.5	pF
Capacitance ratio $V_R = 0, V_R = 25 \text{ V}$	$\frac{C_{T0}}{C_{T25}}$	—	3.0	—	—
Figure of merit $V_R = 4 \text{ V}, f = 50 \text{ MHz}$	$Q_{(\min)}$	4000	—	—	—

- Abrupt junction tuning diode
- Tuning range 25 V
- High figure of merit



Type	Ordering code	Package <sup>1)</sup>
BBY 33DA-2	Q 62702 – B127	D

**Maximum Ratings**

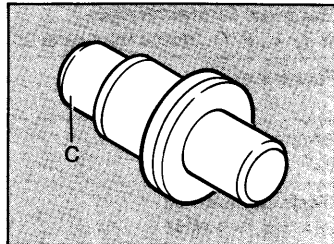
Parameter	Symbol	Value	Unit
Reverse voltage	$V_R$	30	V
Junction temperature	$T_j$	175	°C
Ambient temperature range	$T_A$	-55 ... +175	°C
Storage temperature range	$T_{stg}$	-55 ... +175	°C

1) For detailed dimensions see chapter Package Outlines.

**Electrical Characteristics**at  $T_A = 25^\circ\text{C}$ , unless otherwise specified.

Parameter	Symbol	Values			Unit
		min	typ	max	
Reverse current $V_R = 20\text{ V}$	$I_R$	—	—	5	nA
Diode capacitance $V_R = 4\text{ V}, f = 1\text{ MHz}$	$C_T$	1.7	—	2.1	pF
Capacitance ratio $V_{R1} = 0\text{ V}, V_{R2} = 25\text{ V}$	$\frac{C_{T0}}{C_{T25}}$	3.0	—	—	—
Figure of merit $V_R = 4\text{ V}, f = 50\text{ MHz}$	$Q$	3500	—	—	—

- Hyperabrupt junction tuning diode
- Frequency linear tuning range 4 ... 12 V
- High figure of merit



Type	Ordering code	Package <sup>1)</sup>
BBY 34C	Q 62702 – B257	D
BBY 34D	Q 62702 – B194	

#### Maximum Ratings

Parameter	Symbol	Value	Unit
Reverse voltage	$V_R$	22	V
Forward current	$I_F$	20	mA
Junction temperature	$T_j$	175	°C
Ambient temperature range	$T_A$	-55 ... +175	°C
Storage temperature range	$T_{stg}$	-55 ... +175	°C

1) For detailed dimensions see chapter Package Outlines.

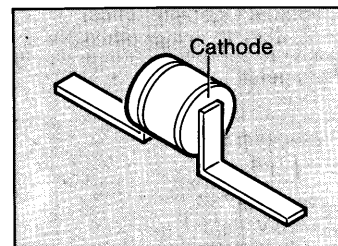
**Electrical Characteristics**at  $T_A = 25^\circ\text{C}$ , unless otherwise specified.

Parameter	Symbol	Values			Unit
		min	typ	max	
Reverse current $V_R = 20\text{ V}$	$I_R$	—	—	10	nA
Diode capacitance $V_R = 4\text{ V}, f = 1\text{ MHz}$	$C_T$	2.7	—	3.3	pF
Capacitance ratio $V_{R1} = 4\text{ V}, V_{R2} = 20\text{ V}$	$\frac{C_{T4}}{C_{T20}}$	4.3	—	—	—
Figure of merit $V_R = 4\text{ V}, f = 50\text{ MHz}$	$Q$	400	—	—	—

**Electrical Characteristics**at  $T_A = 25^\circ\text{C}$ , unless otherwise specified.

Parameter	Symbol	Values			Unit
		min	typ	max	
Reverse current $V_R = 20\text{ V}$	$I_R$	—	—	10	nA
Diode capacitance $V_R = 4\text{ V}, f = 1\text{ MHz}$	$C_T$	3.2	—	3.8	pF
Capacitance ratio $V_{R1} = 4\text{ V}, V_{R2} = 20\text{ V}$	$\frac{C_{T4}}{C_{T20}}$	2.7	—	—	—
Figure of merit $V_R = 4\text{ V}, f = 50\text{ MHz}$	$Q$	400	—	—	—

- Hyperabrupt junction tuning diode
- Frequency linear tuning range 4 ... 12 V
- High figure of merit



Type	Ordering code	Package <sup>1)</sup>
BBY 35F	Q 62702 – B195	T1

**Maximum Ratings**

Parameter	Symbol	Value	Unit
Reverse voltage	$V_R$	22	V
Forward current	$I_F$	400	mA
Junction temperature	$T_j$	175	°C
Ambient temperature range	$T_A$	-55 ... +175	°C
Storage temperature range	$T_{stg}$	-55 ... +175	°C

1) For detailed dimensions see chapter Package Outlines.

**Electrical Characteristics**at  $T_A = 25^\circ\text{C}$ , unless otherwise specified.

Parameter	Symbol	Values			Unit
		min	typ	max	
Breakdown voltage $I_R = 10 \mu\text{A}$	$V_{(\text{BR})}$	22	—	—	V
Reverse current $V_R = 20 \text{ V}$	$I_R$	—	—	10	nA
Diode capacitance $V_{R1} = 4 \text{ V}, f = 1 \text{ MHz}$ $V_{R2} = 20 \text{ V}, f = 1 \text{ MHz}$	$C_T$	8.5 2.1	— —	10 2.4	pF
Capacitance ratio $V_{R1} = 4 \text{ V}, V_{R2} = 20 \text{ V}$	$\frac{C_{T4}}{C_{T20}}$	3.5	—	—	—
Figure of merit $V_R = 4 \text{ V}, f = 50 \text{ MHz}$	$Q$	250	350	—	—

### **Hyperabrupte Abstimmvaraktoren für den Einsatz im GHz-Bereich**

Hyperabrupte Abstimmvaraktoren für den GHz-Bereich sind durch Impedanzanpassung bei Anwendung der für Großserien entwickelten Verfahren zur reproduzierbaren Einstellung des Dotierungsverlaufes entwickelt.

Sie zeichnen sich durch hohe Gütekennwerte und die für hochzuverlässige Anwendungen bewährte Bell-Metallisierung aus. Ihr Einbau in Metall-Keramikgehäuse dient speziell dem Einsatz in hi-rel-Anwendungen.

### **Mikrowellen Abstimmvaraktoren hyperabrupt**

<b>Typ</b>	<b>Bestellnummer</b>
<b>BBY 34D</b>	Q62702-B194
<b>BBY 35F</b>	Q62702-B195
<b>BBY 36</b>	Q62702-B219
<b>BBY 37</b>	Q62702-B220
<b>BBY 38</b>	Q62702-B221

<b>Typ</b>	<b>Sperr- spannung</b>	<b>Kapazität <math>U_R = 4 \text{ V};</math> <math>f = 1 \text{ MHz}</math></b>	<b>min. Kapazitäts- verhältnis <math>U_{R1} = 4 \text{ V};</math> <math>U_{R2} = 20 \text{ V}</math></b>	<b>min. Güte</b>	<b>Bild</b>
	$U_R$ (V)	$C_D$ (pF)	$\frac{C_D(U_{R1})}{C_D(U_{R2})}$	Q	
<b>BBY 34D</b>	22	3,1– 3,7	2,7	400	<b>58</b>
<b>BBY 35F</b>	22	8,4–10,0	3,5	250	<b>123</b>
<b>BBY 36</b>	22	3,2– 3,8	2,7	400	<b>7</b>
<b>BBY 37</b>	22	4,3– 5,1	3,0	350	<b>47</b>
<b>BBY 38</b>	22	22 –25	4,0	100	<b>47</b>

Abweichende Gehäusebauformen und Kapazitätswerte auf Anfrage.

**Maßbilder:**

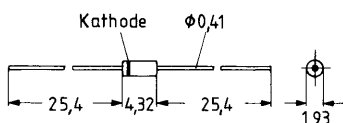


Bild 7 Gewicht etwa 0,18 g Maße in mm

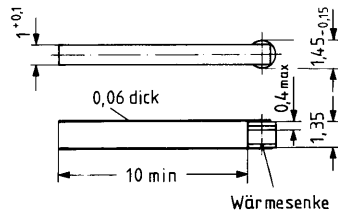


Bild 123 Gewicht etwa 0,03 g Maße in mm

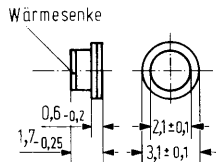


Bild 47 Gewicht etwa 0,03 g Maße in mm

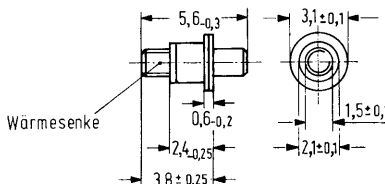


Bild 58 Gewicht etwa 0,12 g Maße in mm